

Рис. 1. МРТ-исследование в аксиальной проекции пациентки 51 года с менингиомой правого зрительного нерва. 1, а — Т1-взвешенное изображение, на котором наблюдается образование с изоинтенсивным сигналом к правому зрительному нерву; 1, 6 — Т1-взвешенное изображение с контрастным усилением, на котором наблюдается утолщение оболочек зрительного нерва.

Стрелками указан синдром «траммайных рельсов»; 1, в-г — Т2-Flair-режимы

Fig. 1. Axial MRI of 51-year-old female patient with right optic nerve sheath meningioma. 1, a — T1-weighted image showing a tumor with an isointense signal to the right optic nerve; 1, 6 — T1-weighted contrast enhancement image showing nerve sheath thickening with the "tram-track" sign (arrows); B-r — T2-Flair sequences

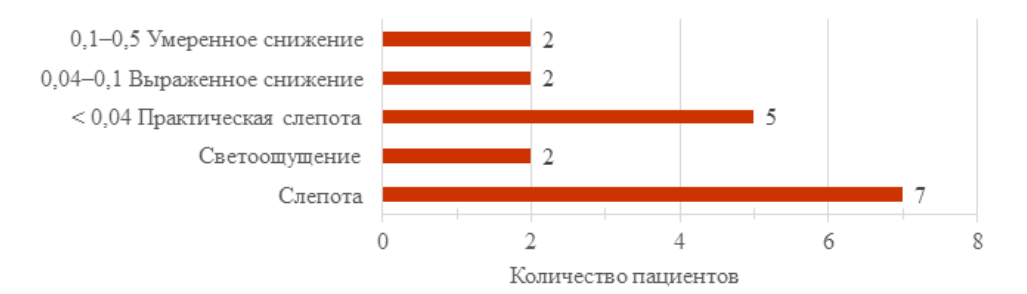


Рис. 2. Острота зрения на пораженной стороне у пациентов с менингиомой зрительного нерва перед проведением лучевой терапии Fig. 2. Visual acuity on the affected side in patients with optic nerve meningioma prior to radiation therapy

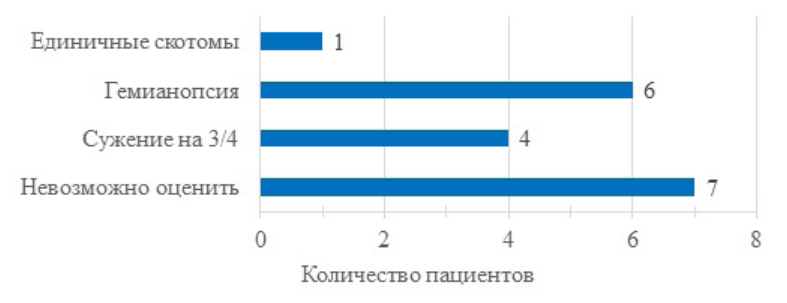


Рис. 3. Дефекты полей зрения на пораженной стороне у пациентов с менингиомой зрительного нерва перед проведением лучевой терапии

Fig. 3. Visual field defects on the affected side in patients with optic nerve meningioma prior to radiation therapy

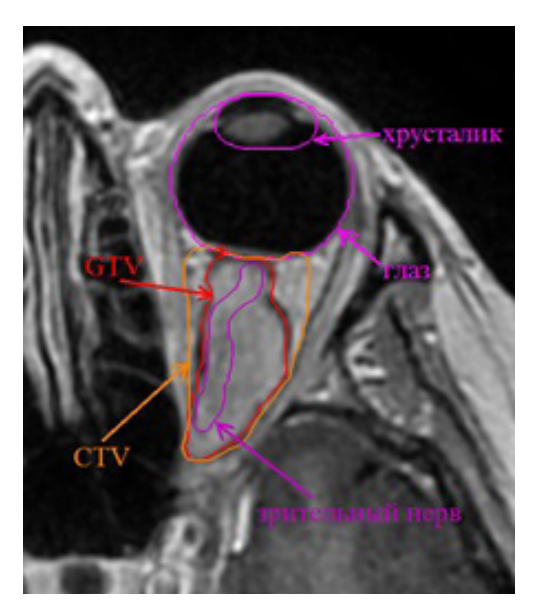


Рис. 4. Формирование объема облучения на ЛУЭ Cyber-Knife. Красная стрелка указывает на контур GTV, оранжевая — на контур СТУ, который определяется с учетом подвижности глаза и зрительного нерва. Фиолетовыми стрелками указаны критические структуры
Fig. 4. Formation of the irradiation volume on the Cyber-Knife system. The red arrow indicates the GTV contour, the orange arrow indicates

the CTV contour, which is determined taking into account the mobility of the eye and optic nerve. Critical structures are indicated by purple

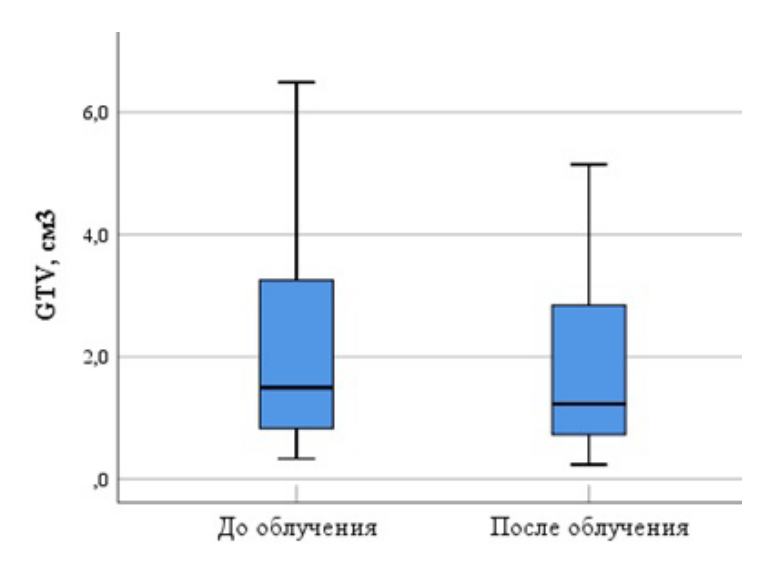


Рис. 5. Сравнение объема GTV до и после проведения лучевой терапии Fig. 5. GTV comparison before and after radiotherapy



Рис. 6. Динамика остроты зрения на пораженной стороне у пациентов с менингиомой зрительного нерва до и после проведения лучевой терапии — суммарные данные
Fig. 6. Visual acuity dynamics on the affected side in patients with optic nerve sheath meningioma before and after radiation therapy —

summary data

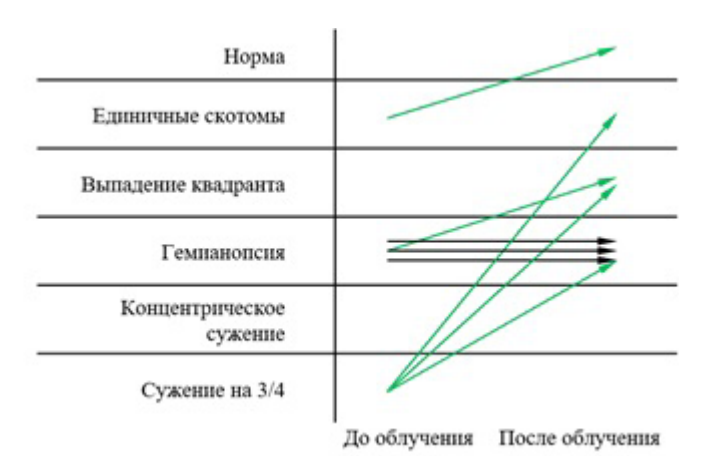


Рис. 7. Динамика полей зрения на пораженной стороне у пациентов с менингиомой зрительного нерва до и после проведения лучевой терапии (n = 8). Каждая стрелка указывает одного пациента: черная — без изменений, зеленая — расширение границ поля зрения

Fig. 7. Visual field dynamics on the affected side in patients with optic nerve sheath meningioma before and after radiotherapy (n = 8). Individual patient trajectories are shown: black arrows indicate stable fields, green arrows indicate visual field expansion

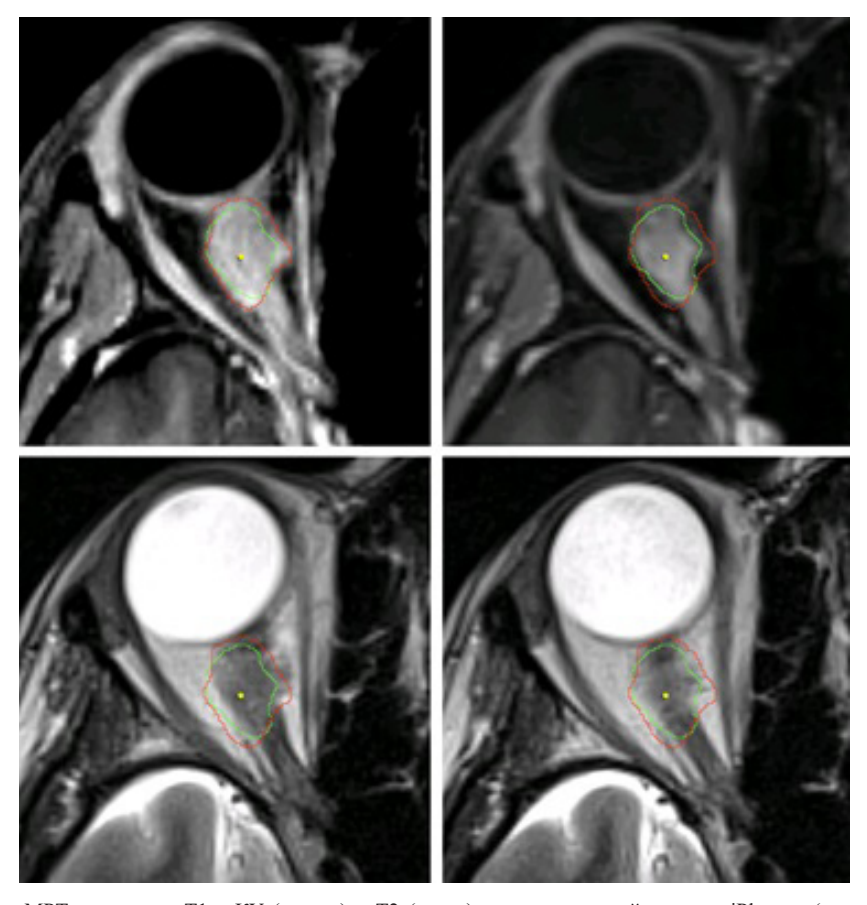


Рис. 8. Совмещение MPT в режимах T1 с KУ (сверху) и T2 (снизу) на планирующей системе iPlan до (слева) и после (справа) проведения облучения. Красным контуром отмечен GTV на момент облучения, зеленым — GTV через 55 мес. Fig. 8. Co-registered T1-weighted (top) and T2-weighted (bottom) MRI sequences in the iPlan® planning system before (left) and after (right) radiotherapy. The red contour delineates the initial GTV; the green contour shows GTV regression at 55-month follow-up